

### Список літератури

1. Харламов Ю. А. Основы технологии восстановления и упрочнения деталей машин / Ю. А. Харламов, Н. А. Будагянц. – Луганск : Изд-во Восточно-укр. націон. ун-та им. В. Даля, 2003. – 389 с.
2. Орлов В. И. Газотермическое напыление коррозионностойких и износостойких материалов / В. И. Орлов. – Л. : ЛДНТП, 1986. – 142 с.
3. Процессы плазменного нанесения покрытий: теория и практика / [А. Ф. Ильющенко, С. П. Кундас, А. П. Достанко и др.]. – Минск : Научный центр исследований политики и бизнеса «Арнита-Маркетинг; Менеджмент», 1999. – 544 с.
4. Рево С. Л. Исследование плотности дислокаций и энергии активации диффузионных процессов методом термоЭДС в многослойных материалах / С. Л. Рево, В. С. Копань, А. И. Майборода // Поропоковая металлургия. – 1981. – № 4. – С. 61–65.
5. Голуб Н. В. Термоусталостное разрушение защитных покрытий в зависимости от физико-механических свойств системы покрытие-подложка / Н. В. Голуб // Труды науч.-практ. конф. – Минск : МПИ, 1990. – С. 24–29.

Одержано 12.11.2012

**Губарь Е.Я., Пономаренко А.М., Шматков В.Ю., Канащевич Г.В. Измерение остаточных напряжений в восстановительном покрытии коленчатого вала автомобиля**

*Предложен способ измерения остаточных напряжений в покрытиях восстановленных коленчатых валов автомобилей модели ЗИЛ-162. Получена сравнительная характеристика значений остаточных напряжений в восстановленных и новых коленчатых валах автомобилей модели ЗИЛ-162.*

**Ключевые слова:** восстановительное покрытие, коленчатый вал, плазменное напыление, остаточные напряжения, тензодатчики, аналогово-цифровой преобразователь.

**Gubar Ye., Ponomarenko A., Shmatkov V., Kanashevych G. Measurement of residual stresses in car crank-shaft renewable coating**

*The method for measuring residual stresses in the restored crankshaft coatings of car models ZIL-162 is suggested. The comparative characteristics of residual stresses in the restored and new crankshafts of car models ZIL-162 has been received.*

**Key words:** restorative cover, crankshaft, plasma spray, residual stresses, load cells, analog-to-digital converter.

---

УДК 539.3

А. В. Ревенко

Фізико-механічний інститут ім. Г. В. Карпенка НАН України, м. Львів

## ВПЛИВ РЕЛАКСАЦІЇ НАПРУЖЕНЬ У В'ЯЗКОПРУЖНОМУ ВКЛЮЧЕННІ НА КОНЦЕНТРАЦІЮ НАПРУЖЕНЬ У ПЛАСТИНІ

*Розв'язано задачу про встановлення напруженої стану пластини з включенням із в'язкопружного матеріалу. Для тонкого включення еліптичної форми і матеріалу з реологічними властивостями узагальненого матеріалу Кельвіна одержано розв'язок у замкнутому аналітичному вигляді. Знайдено напруження у включенні та їх концентрацію в пластині.*

**Ключові слова:** включення, пластина, в'язкопружний матеріал, модель Кельвіна.

### Вступ

При відновленні несучої здатності пошкоджених тріщинами конструкцій триває експлуатації знаходить все ширше застосування технологія, яка полягає у заповненні дефектних зон рідкими матеріалами, здатними тверднати через певний час. Розрахунки короткочасної міцності, підсилені таким способом елементів конструкцій свідчать про ефективність цієї методики [1].

Ін'єкційними матеріалами, як правило, є високомолекулярні сполуки (поліуретані, акрили, епоксидні смоли), несуча здатність яких при заданому навантаженні міняється з часом. Тому важливим є дослідження як короткочасної [2], так і довготривалої міцності відновлених елементів конструкцій [3–5].

Встановимо релаксацію напружень у включенні із в'язкопружного матеріалу, реологічні властивості якого

будемо описувати узагальненою моделлю Кельвіна [4]. Зауважимо, що тіло Кельвіна достатньо добре відображає реологічні властивості полімерних матеріалів.

### Постановка задачі

Нехай у нескінченій пружній пластиині міститься в'язко-пружне включення (рис. 1). Будемо вважати, що включення тонке  $\frac{h(x)}{a} \ll 1$ , де  $2h(x)$  – змінна висота,

$2a$  – довжина включення. До пластиини на нескінченості прикладені рівномірно розподілені зусилля інтенсивності  $\sigma_0$  у напрямку осі  $y$ . Деформування пластиини і включення відбувається в умовах плоского напруженого стану.

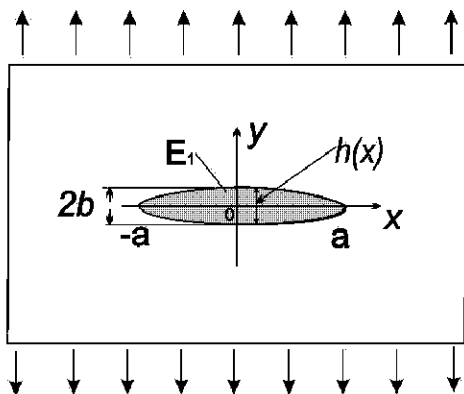


Рис. 1. Розміщення включення в пластиині

Для ізотропного матеріалу в'язкопружного включення зв'язок між нормальними напруженнями і деформаціями задамо у вигляді [4]

$$\sigma_y(x, t) = E_1 [\varepsilon_y(x, t) + \int_0^t R(t-\tau) \varepsilon_y(x, \tau) d\tau], \quad (1)$$

де  $R(t)$  – ядро релаксації в'язко-пружного матеріалу;  $E_1$  – міттєвий модуль Юнга матеріалу включения;  $t$  – часовий параметр.

Якщо модуль пружності включения значно менший від модуля Юнга матеріалу пластиини, то врахувавши тонкість включения, його дію наблизено можна виразити через сукупність вертикальних неперервно розміщених в'язкопружних стрижнів. Із гіпотези Вінклера знайдемо деформацію у включения:

$$\varepsilon_y(x, t) = u(x, t)/h(x), \quad (2)$$

де  $u(x, t)$  – переміщення контуру включения у напрямку осі  $y$ .

На поверхні контакту матеріалу включения і пластиини виконуються умови рівності переміщень і напружень. Уявно видалимо із пластиини матеріал включения,

замінивши його дію по поверхні утвореної порожнини розподілом напружень

$$\sigma_y(x, t) = \frac{E_1}{h(x)} [u(x, t) + \int_0^t R(t-\tau) u(x, \tau) d\tau],$$

$$\sigma_{xy} = 0. \quad (3)$$

При одержанні формули (3) використана залежність (2). Враховуючи малу товщину включения, пластиину з отвором від включения замінимо пластиною з розрізом вздовж відрізка  $[-a, a]$  на контурі, якого діють задані навантаження (3). Вважатимемо, що форма включения задана еліпсом з півосями  $a$  і  $b$  ( $a > b$ ),

де  $h(x) = b\sqrt{a^2 - x^2}/a$  – половина висоти включения.

У роботі [5] розв'язок рівняння (3), в рамках статичної теорії пружності, знайдено в замкнутому аналітичному вигляді:

$$u^*(x, t) = f(t)\sqrt{a^2 - x^2}, \quad (4)$$

де  $u^*(x, t) = u(x, t) - \frac{\sigma_0}{E} h(x)$ ;  $E$  – модуль Юнга матеріалу матриці;  $f(t)$  – невідома функція від часу. Для визначення функції  $f(t)$  одержано рівняння Вольтерра

$$\chi f(t) + \int_0^t R(t-\tau) f(\tau) d\tau - p_2(t) = 0, \quad (5)$$

де  $\chi = 1 + E/c_2$ ,  $c_2 = 28E_1$ ,  $\delta = a/b$ ,  $E$  – модуль Юнга матеріалу пластиини;

$$p_2(t) = -\frac{2\sigma_0}{c_2} (c_1 \int_0^t R(t-\tau) d\tau + c_1 - 1), \quad c_1 = E_1/E.$$

Якщо функція  $f(t)$  знайдена, то напружене-деформований стан у пластиині з в'язкопружним включением знайдемо таким чином. На контурі включения із співвідношень (2), (4) визначимо деформацію

$$\varepsilon_y = \sigma_0/E + \delta f(t). \quad (6)$$

Напруження у включениях обчислюємо на основі співвідношень (1), (6):

$$\sigma_y = E_1 \left\{ \frac{\sigma_0}{E} + \delta f(t) + \int_0^t K(t-\tau) \left[ \frac{\sigma_0}{E} + \delta f(\tau) \right] d\tau \right\}. \quad (7)$$

Напруження в матриці у точках  $x \pm a$ , де напруження досягають свого максимуму знаходимо із умови рівності напружень та сумісності деформацій у включениях та матриці:

$$\sigma_y(t) = \sigma_0 + \delta E f(t).$$

### Розв'язання інтегрального рівняння Вольтерра

У рівняння Вольтерра (5) входить ядро релаксації  $R(t)$ . Як правило, із експериментів визначають явний вигляд ядер повзучості [3, 4]. Отже, важливо встановити залежність між ядрами повзучості та релаксації. Деформація у в'язкопружному середовищі визначається інтегральним оператором

$$\varepsilon_y(x, t) = \frac{1}{E_1} [\sigma_y(x, t) + \int_0^t H(t-\tau) \sigma_y(x, \tau) d\tau]. \quad (8)$$

де  $H(t)$  – ядро повзучості. Для знаходження зв'язку між ядрами використаємо перетворення Лапласа [6]

$$F(s) = L[f(t)] = \int_0^\infty f(t) e^{-st} dt. \quad (9)$$

для якого вірна формула згортки оригіналів

$$L\left[\int_0^t R(t-\tau) f(\tau) d\tau\right] = F(s) \cdot \tilde{R}(s), \quad (10)$$

де  $s = \alpha + i\omega$  – комплексна змінна,  $F(s)$ ,  $\tilde{R}(s)$  – функції зображень, значком  $\sim$  позначені трансформанти Лапласа. Застосуємо до інтегральних рівнянь (1), (8) перетворення Лапласа (9) і після використання формули (10) та перетворень одержимо

$$\begin{aligned} \tilde{\sigma}_y(s) &= E_1 [1 + \tilde{R}(s)] \tilde{\varepsilon}_y(s), \\ E_1 \tilde{\varepsilon}_y(s) &= [1 + \tilde{H}(s)] \tilde{\sigma}_y(s). \end{aligned} \quad (11)$$

Порівнюючи між собою рівняння (11), одержимо шуканий зв'язок між ядрами

$$\tilde{R}(s) = -\frac{\tilde{H}(s)}{\tilde{H}(s) + 1}. \quad (12)$$

Застосуємо до інтегрального рівняння (5) перетворення Лапласа і після врахування формули (10) одержимо

$$\tilde{f}(s) = \frac{P_2(s)}{\chi_1 + \tilde{R}(s)}, \quad (13)$$

де  $P_2(s) = -\frac{2\sigma_0}{c_2} (c_1 \tilde{R}(s) + c_1 - 1) \frac{1}{s}$ . Якщо до подання

(13) застосувати обернене перетворення Лапласа, то знайдемо шукану функцію  $f(t)$ .

### Узагальнений матеріал Кельвіна

У цьому випадку ядро повзучості має вигляд

$$H(t) = \mu_1 e^{-\beta_1 t} + \mu_2 e^{-\beta_2 t},$$

де  $\beta_1, \beta_2, \mu_1, \mu_2$  – реологічні характеристики матеріалу. Використаємо [6] і знайдемо

$$\tilde{H}(s) = \frac{\mu_1}{\beta_1 + s} + \frac{\mu_2}{\beta_2 + s}.$$

Із формул (12), (13) визначимо зображення:

$$\tilde{R}(s) = -\frac{a_1 s + a_2}{(s - \lambda_1)(s - \lambda_2)},$$

$$P_2(s) = -\frac{2\sigma_0}{c_2} (c_1 \tilde{R}(s) + c_1 - 1) \frac{1}{s}, \quad (14)$$

$$\text{де } a_1 = \mu_1 + \mu_2, a_2 = \mu_1 \beta_2 + \mu_2 \beta_1, \lambda_1 = -b_1 + \sqrt{b_1^2 - b_2}, \lambda_2 = -\lambda_1 - 2b_3, b_1 = \mu_1 + \mu_2 + \beta_1 + \beta_2, b_2 = \mu_1 \beta_2 + \mu_2 \beta_1 + \beta_2 \beta_1.$$

Врахувавши вирази (14), із рівняння (13) обчислимо

$$\tilde{f}(s) = \frac{A}{s} \left\{ 1 + \frac{a_3 s + a_4}{(s - \lambda_1)(s - \lambda_2)} \right\}, \quad (15)$$

$$\text{де } A = -\frac{\sigma_0}{c_3} \frac{(c_1 - 1)}{\chi}, a_3 = \frac{a_1}{\chi} - \frac{a_1 c_1}{c_1 - 1}, a_4 = \frac{a_2}{\chi} - \frac{a_2 c_1}{c_1 - 1}, b_3 = \frac{b_1}{2} - \frac{a_1}{2\chi}, b_4 = b_2 - \frac{a_2}{\chi}, c_3 = \frac{c_2}{2}.$$

Використавши відомі оригінали [6], із співвідношення (15) знайдемо

$$f(t) = A \{ A_0 + A_1 e^{\lambda_1 t} + A_2 e^{\lambda_2 t} \},$$

$$\text{де } A_0 = 1 - \lambda_1^{-1} - \lambda_2^{-1}, A_1 = \frac{a_4 + \lambda_1 a_3}{\lambda_1 (\lambda_1 - \lambda_2)}, A_2 = \frac{a_4 + \lambda_2 a_3}{\lambda_2 (\lambda_2 - \lambda_1)},$$

$$B_1 = \lambda_1 A_1, B_2 = \lambda_2 A_2.$$

### Числові результати

На рис. 2 наведені графіки, що показують релаксацію напружень у включеннях, повзучість яких описується узагальненою моделлю Кельвіна. В розрахунках, проведених згідно з формулами (9), (14), (16), взято:  $c_1 = 0,4$ ;  $\delta = 15$ . Реологічні характеристики матеріалів включень:  $\beta_1 = 1,2$ ;  $\mu_1 = 0,6$ ;  $\beta_2 = 1$ . Значення параметрів  $\mu_1$  наведені на рисунках

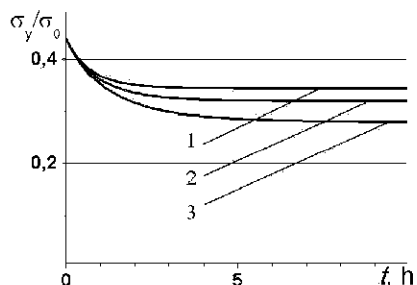
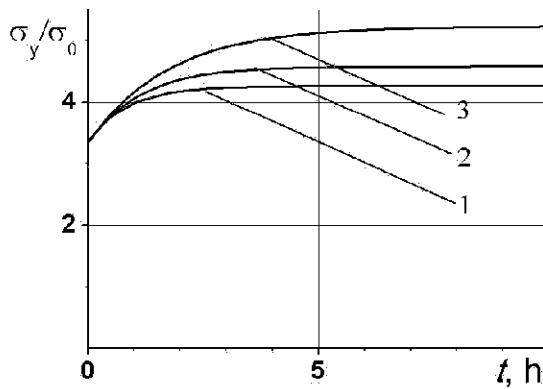


Рис. 2. Релаксація напружень у включеннях:

1 –  $\mu_1 = 0,4$ ; 2 –  $\mu_1 = 0,5$ ; 3 –  $\mu_1 = 0,7$

На рис. 2 показано, що напруження у включені зменшуються, але стабілізуються на певному рівні. Це, в свою чергу, призводить до зростання напружень у пластині, особливо в околі точок ( $y = 0$ ;  $x = \pm a$ ). У залежності від часу дії зовнішнього навантаження ця зміна напружень, для розглянутих матеріалів включення, зображенна на рис. 3. Напруження в матриці зростають від значень їх миттєвої концентрації в початковий момент прикладання зовнішніх зусиль до кінцевої концентрації напружень, яка залежить як від форми включення, так і реологічних характеристик.



**Рис. 3.** Залежність концентрації напруження у пластині в околі включення:

$$1 - \mu_1 = 0,4; 2 - \mu_1 = 0,5; 3 - \mu_1 = 0,7$$

### Висновки

Повзучість в'язкопружного матеріалу включення приводить до релаксації напруження у ньому і суттєво впливає на напруженно-деформований стан у пластині,

яка перебуває під дією довготривалих статичних навантажень. Зокрема, для розглянутих матеріалів, як це випливає із рис. 2, 3, напруження у включеннях зменшується у 1,2–1,5 рази, що веде до зростання напруження в пластині у 1,3–1,6 рази. Концентрація напруження біля включення (заповнених тріщин) зростає, але з часом стабілізується на певному рівні. Це дозволяє прогнозувати довготривалу міцність в технології ін'єкційного зміщення, пошкоджених тріщинами, будівельних споруд та промислових експлуатацій.

### Список літератури

- Маруха В. І., Механіка руйнування та міцність матеріалів: довідниковий посібник / В. І. Маруха, В. В. Панаюк, В. П. Силованюк / Під ред. В. В. Панаюка. Том 12 : Ін'єкційні технології відновлення роботоздатності пошкоджених споруд тривалої експлуатації. – Львів : Спілок, 2009. – 260 с.
- Панаюк В. В. Концентрация напряжений в трехмерных телах с тонкими включениями / В. В. Панаюк, М. М. Стадник, В. П. Силованюк. – К. : Наук. думка, 1986. – 215 с.
- Работнов Ю. Н. Ползучесть элементов конструкций / Ю. Н. Работнов. – М. : Наука, 1966. – 752 с.
- Каминський А. А. Разрушение вязкоупругих тел с трещинами / А. А. Каминський. – К. : Наук. думка, 1990. – 312 с.
- Силованюк В. П. Вплив повзучості матеріалу включення на концентрацію напруження в тілі / В. П. Силованюк, А. В. Ревенко // Фіз.-хім. механіка матеріалів. – 2009. – № 4. – С. 76–80.
- Корн Г. Справочник по математике для научных работников и инженеров. Определения, теоремы, формулы / Г. Корн, Т. Корн. – М. : Наука, 1974. – 831 с.

Одержано 16.12.2012

### Ревенко А.В. Влияние релаксации напряжений в вязкоупругом включении на концентрацию напряжений в пластине

Решена задача о напряженном состоянии пластины с включением, которое заполнено вязкоупругим материалом. Для тонкого включения эллиптической формы и материала с реологическими свойствами обобщенного материала Кельвина получено решение в замкнутом аналитическом виде. Найдено напряжения во включении и их концентрацию в пластине.

**Ключевые слова:** включения, пластина, вязкоупругий материал, модель Кельвина.

### Revenko A. Influence of stress relaxation in viscoelastic inclusion on concentration of stresses in the plate

The problem of stress state of a plate with inclusion which is filled by a viscoelastic material is solved. For thin inclusion of the elliptic form and material with rheological properties of the generalized Kelvin material solution is obtained in a closed analytical form. The stresses in the inclusion and their concentration in the plate are found. Stresses in inclusion and their concentration in the plate were discovered.

**Keywords:** inclusions, plate, viscoelastic material, Kelvins model.